

---

**DM N°14**  
**ALI & rétroaction**

---

Lycée LANGEVIN - WALLON

5 décembre 2020

## À lire attentivement...

Les candidats devront vérifier que le sujet comporte bien 7 pages numérotées 1/7, 2/7, ... 7/7.

Les candidats sont invités à porter une attention particulière à la rédaction : les copies illisibles ou mal présentées seront pénalisées.

Toute application numérique ne comportant pas d'unité ne donnera pas lieu à attribution de points. Les résultats numériques devront être donnés sous la forme appropriée.

Le sujet comporte :

- 2 exercices d'annale de physique.

Les diverses parties peuvent être traitées dans l'ordre choisi par le candidat. Il prendra toutefois soin de bien numérotter les questions.



**Fig. 1** – Carte mémoire de Rétroaction & ALI

L'EMPLOI DE LA CALCULATRICE OU DE TOUTE AUTRE AIDE ÉLECTRONIQUE,  
NOTAMMENT PYTHON, EST AUTORISÉ.

LE TRAVAIL AVEC SON COURS SOUS LES YEUX EST RECOMMANDÉ.

LE PHOTO-COPILLAGE DU TRAVAIL D'UN CAMARADE SERA SANCTIONNÉ.

UN RÉSULTAT NON ENCADRÉ NE SERA PAS PRIS EN COMPTE.

Si au cours de la rédaction, un candidat repère ce qui lui semble être une erreur d'énoncé, il le signalera sur sa copie et poursuivra sa composition en expliquant les raisons des initiatives qu'il a été amené à prendre.

Les matériaux piézoélectriques ont la capacité de voir apparaître une différence de potentiel entre leurs faces lorsqu'on exerce sur elles une contrainte (effet direct) mais également de pouvoir se déformer sous l'action d'une différence de potentiel imposée (effet inverse), ce qui en fait des matériaux très intéressants sur le plan des applications. On propose ici d'étudier différentes utilisations de ces matériaux. Les quatre parties de ce problème sont indépendantes.

## 1.1 Utilisation en capteur de forces

Les montages ci-après utilisent des amplificateurs linéaires intégrés (ALI) supposés idéaux et fonctionnant en régime linéaire.

### 1.1.1 Mesure de l'intensité d'une force s'exerçant sur une lame piézoélectrique

On suppose qu'une force  $\vec{F}$  régulièrement répartie est exercée sur la face de la lame, celle-ci entraînant l'apparition d'une tension  $V_e$  à ses bornes et de deux charges opposées  $+q$  et  $-q$  sur les faces de la lame. La charge  $q$  est liée à  $V_e$  ainsi qu'à la force  $\vec{F}$  exercée de sorte que  $q = CV_e = KF$  où  $C$ ,  $K$  et  $F$  représentent respectivement une capacité, une constante de proportionnalité et l'intensité de la force  $\vec{F}$ .

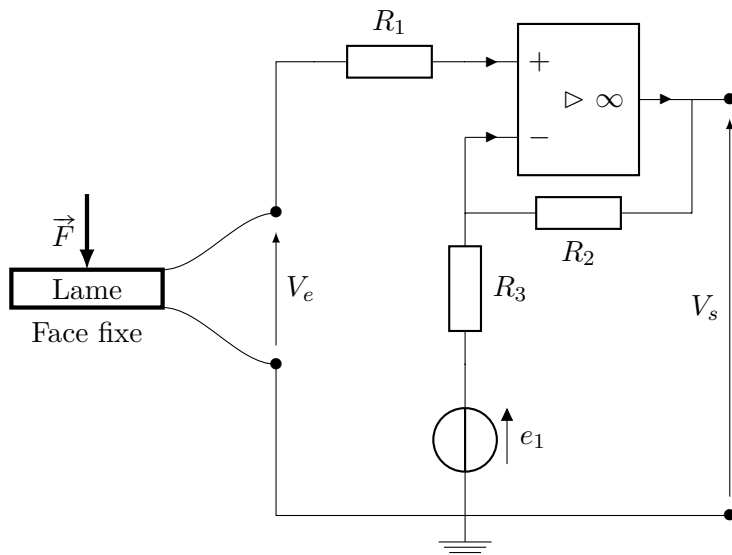


Fig. 1.1

- Après avoir rappelé le modèle de l'amplificateur linéaire intégré idéal, exprimer la tension  $V_e$  en fonction de  $e_1$ ,  $V_s$  et des différentes résistances (figure 1.1).

#### Application numérique

- On donne :  $R_1 = 10 \text{ k}\Omega$ ,  $R_2 = 6,5 \text{ k}\Omega$ ,  $R_3 = 1,0 \text{ k}\Omega$  et  $e_1 = 100 \text{ mV}$ . On mesure  $V_s = 6,50 \text{ V}$ , en déduire  $V_e$ .
- Sachant que  $C = 8,0 \times 10^{-13} \text{ F}$  et que  $K = 1,0 \times 10^{-12} \text{ C} \cdot \text{N}^{-1}$ , déterminer l'intensité de la force  $\vec{F}$  s'exerçant sur la lame.

### 1.1.2 Mesure de la fréquence d'une force excitatrice sinusoïdale s'exerçant sur une lame

On considère que la lame est soumise à une action mécanique variant sinusoïdalement dans le temps à la fréquence  $f$ , fréquence que l'on se propose de déterminer à l'aide du montage de la figure 1.2.

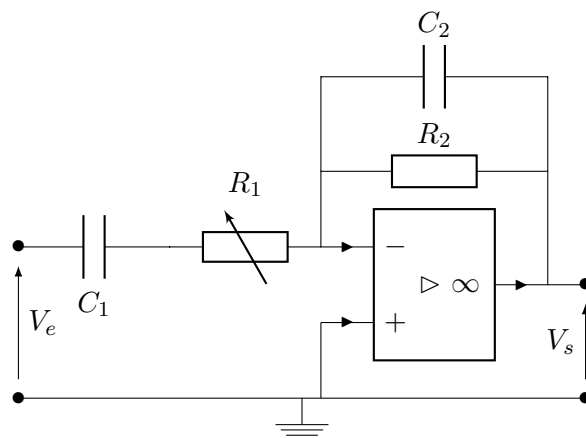


Fig. 1.2

4. Déterminer l'expression de la fonction de transfert du filtre de la figure 1.2 et la mettre sous la forme :

$$H(j\omega) = -\frac{A}{1 + j(\omega/\omega_1 - \omega_2/\omega)}$$

en précisant les expressions de  $A$ ,  $\omega_1$  et  $\omega_2$  en fonction de  $R_1$ ,  $R_2$ ,  $C_1$  et  $C_2$ .

5. Indiquer quelle est la nature de ce filtre.  
 6. Montrer que le gain passe par un maximum pour une pulsation  $\omega$  que l'on exprimera en fonction de  $\omega_1$  et  $\omega_2$ .

On ajuste à présent la résistance  $R_1$  de manière à ce que les signaux d'entrée et de sortie soient en opposition de phase.

7. Comment peut-on vérifier expérimentalement que les deux signaux sont en opposition de phase ?  
 Indiquer quel matériel peut être utilisé pour cette opération et comment le relier au montage.  
 8. Déterminer la fréquence de la contrainte s'exerçant sur la lame. Calculer sa valeur numérique sachant que  $R_2 = 1,0 \times 10^2 \text{ k}\Omega$ ,  $C_1 = 50 \text{ nF}$ ,  $C_2 = 5,0 \text{ nF}$  et qu'il a fallu régler  $R_1$  à  $10 \text{ k}\Omega$  de manière à ce que les deux signaux soient en opposition de phase.

# 2019 CCS TSI Physique Chimie 2 – Accordeur, TGV et effet Hall

## 2.1 Accordeur de guitare

Nous allons étudier quelques aspects d'un accordeur de guitare. La problématique est la suivante.

- La guitare comporte six cordes : Mi grave, La, Ré, Sol, Si, Mi aigu.
- Les fréquences fondamentales théoriques de vibration de ces cordes, notées  $f_{ac}$  sont données dans le tableau 1.

Corde	Fréquence ( $f_{ac}$ )
Mi grave	82,4 Hz
La	110,0 Hz
Ré	146,8 Hz
Sol	196 Hz
Si	246,9 Hz
Mi aigu	329,6 Hz

- On souhaite accorder une corde *légèrement* désaccordée : on notera  $f_{co}$  la fréquence fondamentale de vibration de la corde en question.

### Principe de l'accordeur

- Sélection de la corde à accorder (donc  $f_{ac}$  est fixée).
- Création d'un signal carré de référence de fréquence  $f_{ac}$  avec un oscillateur de type astable.
- Enregistrement du signal  $u_e(t)$  provenant de l'excitation de la corde à accorder : signal quelconque, d'amplitude assez faible, de fréquence  $f_{co}$ .
- Amplification et filtrage de ce signal.
- Extraction de la fondamentale du signal : obtention d'un signal sinusoïdal de fréquence  $f_{co}$  par l'utilisation d'un filtre à fréquence caractéristique réglable par le signal extérieur de référence.
- Mise en forme de ce signal : obtention d'un signal carré de fréquence  $f_{co}$ .
- On a donc à disposition deux signaux carrés (signaux logiques) de fréquences respectives  $f_{ac}$  et  $f_{co}$ . Dans les accordeurs récents le traitement est numérique : les signaux sont envoyés dans un calculateur numérique intégré qui calcule l'écart de fréquence et indique à l'utilisateur quand la corde est accordée, c'est-à-dire quand  $f_{co} = f_{ac}$ .

Ce principe général est schématisé sur la figure 2.1.

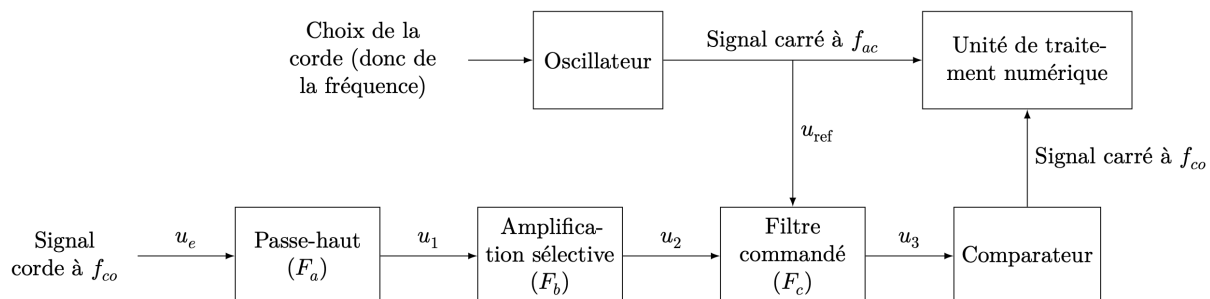
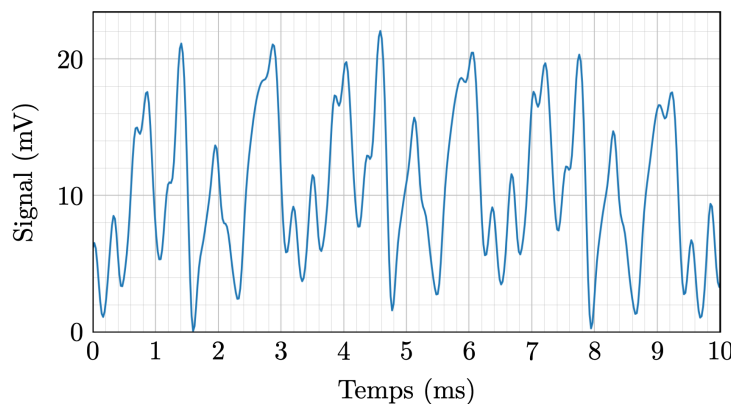


Fig. 2.1 – Principe de fonctionnement de l'accordeur de guitare

Ce problème s'intéresse au traitement du signal venant de la corde.

### 2.1.1 Le signal

La figure 2.2 montre un exemple de signal électrique à la sortie du micro d'une guitare électrique.



**Fig. 2.2 – Signal de la guitare**

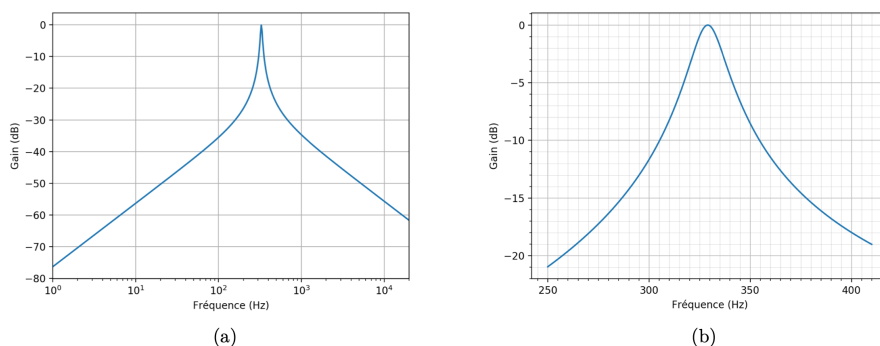
1. Donner une valeur approchée de la valeur moyenne de ce signal.
2. Donner une estimation de la valeur de la fréquence de ce signal (on peut supposer qu'en première approximation le signal est périodique).
3. De quelle corde de guitare s'agit-il ?
4. L'analyse spectrale de ce signal fera-t-elle apparaître des harmoniques ? Justifier.

### 2.1.2 Filtrage (très) sélectif commandé

On souhaite maintenant sélectionner la fréquence fondamentale  $f_{co}$  du signal  $u_2$ , dont la valeur est à priori voisine de celle de la fréquence fondamentale théorique de vibration de la corde sélectionnée sur l'accordeur ( $f_{ac}$ ) (on suppose que la corde est légèrement désaccordée). On suppose pour la suite que c'est la corde Mi aigüe que l'on souhaite accorder. Le principe du filtre ( $F_c$ ) est que sa fréquence caractéristique soit réglée par le signal de référence de fréquence  $f_{ac}$ .

#### Diagramme de Bode

La figure 2.3 représente le diagramme de BODE relatif au gain du filtre ( $F_c$ ) tracé à deux échelles différentes.



**Fig. 2.3 – Diagramme de BODE en gain du filtre ( $F_c$ )**

5. Dire en le justifiant rapidement, de quel type de filtre il s'agit. Quelle est sa fréquence centrale caractéristique ?
6. Donner une estimation de sa bande-passante à  $-3$  dB après l'avoir définie.

7. Si la corde est désaccordée à  $f_{co} = 315$  Hz, estimer, en le justifiant, de quel facteur est atténuée sa composante spectrale fondamentale en sortie de ce filtre.

### Analyse spectrale

La figure 2.4 correspond au spectre du signal d'entrée  $u_e$  représenté sur la figure 2.2.

8. Justifier qu'il est parfaitement cohérent qu'il s'agisse du spectre du signal de la figure 2.2.

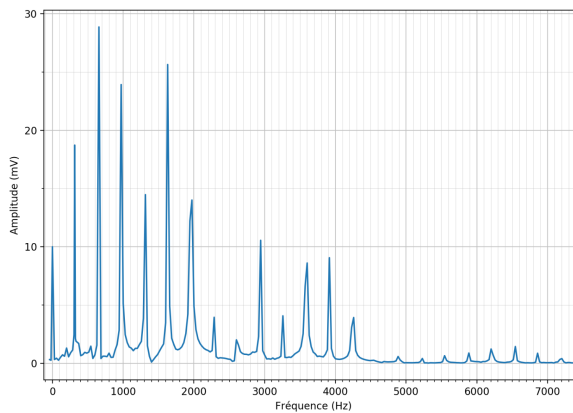


Fig. 2.4 – Spectre du signal d'entrée

#### 2.1.3 Mise en forme

À la sortie de l'étage précédent, le signal est donc proche d'un signal sinusoïdal de fréquence  $f_{co}$  et d'amplitude dépendant de la force avec laquelle on a gratté la corde, mais de l'ordre du volt. Pour effectuer un traitement numérique qui permettra de comparer  $f_{co}$  à la fréquence théorique  $f_{ac}$  on souhaite fabriquer à partir du signal précédent un signal créneau de fréquence  $f_{co}$ . Pour cela, on utilise un comparateur à hystérésis, représenté figure 2.5.

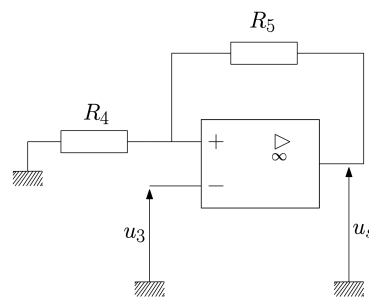


Fig. 2.5 – Comparateur à hystérésis

On note  $U_{\text{sat}}$  la tension de saturation de l'ALI et on suppose que l'ALI est idéal. Le signal  $u_3$  est sinusoïdal alternatif d'amplitude 1 V et de fréquence  $f_{co}$  (c'est le signal sortant du filtre sélectif ( $F_c$ )).

9. Qu'est ce qui permet d'être certain que l'ALI fonctionne en régime saturé ? Rappeler les propriétés d'un ALI idéal en régime saturé.
10. Exprimer  $V^+$  le potentiel de la borne non inverseuse de l'ALI en fonction de  $R_4$ ,  $R_5$  et  $u_s$ . En déduire l'expression de  $\varepsilon = V^+ - V^-$ .
11. Comment varie  $\varepsilon$  quand  $u_3$  varie ( $u_s$  étant fixé) ?

Supposons que  $u_3$  soit suffisamment faible pour que  $\varepsilon > 0$ .

12. Quelle est la valeur de  $u_s$ ? À partir de cette situation,  $u_3$  augmente : exprimer en fonction des données la valeur  $U_{\text{seuil}}$  de  $u_3$  pour laquelle on observera le basculement de  $u_s$ . Quelle est alors la nouvelle expression de  $\varepsilon$ ?
13. À partir de cette nouvelle situation, traiter le cas où  $u_3$  diminue.
14. Représenter finalement le cycle d'hystérésis de ce montage :  $u_s = f(u_3)$ .

Dans le cadre de l'accordeur de guitare,  $R_4 = 1 \text{ k}\Omega$ ,  $R_5 = 10 \text{ k}\Omega$  et  $U_{\text{sat}} = 5 \text{ V}$ .

15. Tracer sur le document réponse l'allure du signal de sortie  $u_s(t)$  correspondant aux deux exemples de signal  $u_3(t)$  proposés.

### Document réponse

